

宇都宮大学工学部 正員 ○中島章典、阿部英彦
東北大工学部 正員 倉西 茂

1.はじめに

軸圧縮力を受ける柱など、座屈を生じさせるまでは大きくなない静的荷重作用下の構造物の動的破壊の1つに、動的荷重を受けている間に構造物の静的不安定性と材料の塑性化が要因となって破壊が起こる場合がある¹⁾。本研究では、静的不安定性を有する構造物として最も基本的な1自由度系を対象とし、この種の動的破壊のメカニズムを明らかにするため、解析的考察を行い、さらに数値計算による検討を加えたものである。

2. 静的不安定性を有する1自由度振動モデルの弾塑性応答

図1に示す、鉛直方向の静的荷重Pが作用している質点(質量m)、剛棒(長さl)、回転ばね(ばね定数k)よりなる振動系に水平方向の動的荷重が作用する場合の運動を考える。粘性減衰および幾何学的非線形性の影響を無視すれば、運動方程式は次式のようになる。

$$m\ddot{x} + R(\theta) - Px = f(t) \quad (1)$$

ここに、R(θ)は回転ばねの復元力であり、この復元力特性が図2に示す完全弾塑性型であるとし、正の方向に塑性化した状態を考えれば、ばねの復元力は、

$$R(\theta) = R_y - k(\theta_m - \theta) \quad (2)$$

と表される。ここに、R_yは降伏復元力、θ_mは基準塑性回転角である。P=αk/l、θ=x/lの関係を用い、式(2)を式(1)に代入し整理すれば、

$$m\ddot{x} + (k/l^2)\{xy - x_m + (1-\alpha)x\} = f(t) \quad (3)$$

となる。ここに、αは静的荷重の座屈荷重に対する比を与える。上式の第2項は系の復元力(静的荷重の影響を含む)を表すが、これをR'(x)として、この復元力特性を示すと図3のようになる。この図の除荷経路BCにおける復元力R'₁、R'₂は、負側のR'₂の方が大きく、また斜線部①、②で示される弾性ひずみエネルギーも②の方が大きい。弾性ひずみエネルギー①、②の差をE_dとして示せば、

$$E_d = 4\alpha(x_m - xy)E_y / xy \quad (4)$$

となる。ここに、E_yは降伏エネルギー($=k\theta_y^2/2$)である。動的外力によるエネルギー入力が定常的であり、振動系が一方向に塑性化した状態を考えれば、振動系が塑性化した方向に変形しやすいことを意味している。また、この変形のしやすさの度合を示すE_rは式(4)より、塑性変位x_m、静的荷重比αの増加につれて大きくなることがわかる。

ところで、図1に示す振動系のエネルギーのつり合い式は、

$$E_k + E_s + E_h = E_f \quad (5)$$

となる。ここに、E_k、E_s、E_hおよびE_fはそれぞれ運動エネルギー、弾塑性ひずみエネルギー、履歴減衰エネルギーおよび動的外力によるエネルギー入力である。図4に系の復元力特性を再び示すが、降伏後の経路ABの延長線がx軸と交わるD点において復元力はゼロとなる。これは、弾塑性ひずみエネルギーE_sには領域OADで囲まれる上限値E_{su}が存在し、D点を越えて変位する場合にはE_sはしだいに減少し、このE_sの減少分は質点の運動エネルギーE_kとして消費されるため、振動系の応答は急激に発散し動的破壊に至ると考えられる。したがって、D点は1つの限界変位と考えられ、これは経路ABがx軸と交わる点として求められる。これをx_{cr}とすれば、

$$x_{cr} = xy / \alpha \quad (6)$$

となり、系に作用する静的荷重Pと変位とのなすモーメントが回転ばねの降伏復元力R_yに等しくなる変位に一致する。また、弾塑性ひずみエネルギーの上限値E_{su}は、図4の領域OADの面積として、

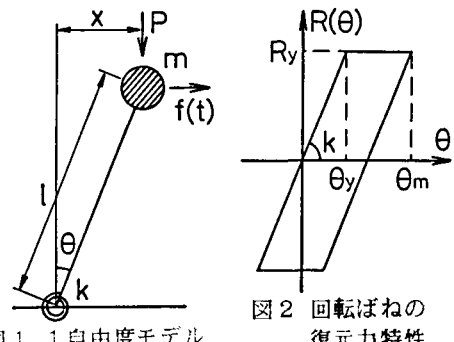


図1 1自由度モデル

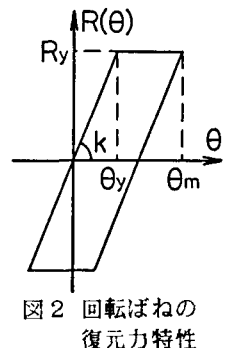


図2 回転ばねの復元力特性

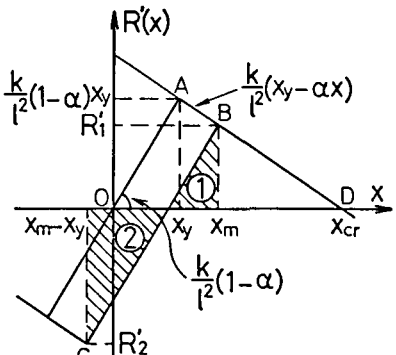


図3 系の復元力特性

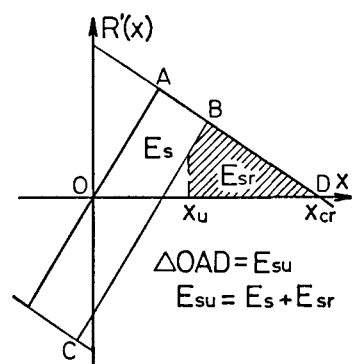


図4 復元力特性のエネルギー的考察

$$E_{su} = E_y (1 - \alpha) / \alpha \quad (7)$$

となり、 E_{su} は E_y によって無次元化すれば、静的荷重比のみの関数になる。

図1の振動系において、式(5)のエネルギーのつり合い式を参照すれば、動的外力によるエネルギー入力 E_f から、履歴減衰エネルギー E_h および限界変位 x_c に達したときに質点が有している運動エネルギー E_k を差し引いたエネルギー入力が E_{su} よりも大きければ、振動系が動的破壊に至ることになる。

そこで、図4に示す限界変位 x_c までには達しない過渡状態の任意の時刻において、一般に質点の速度はゼロではなく、ある運動エネルギー E_k が存在する。この E_k が図4の斜線領域のひずみエネルギー E_{sr} よりも大きければ、この時刻以降動的外力によるエネルギー入力がない場合でも、質点の変位は限界変位に達し動的破壊に至る。このときの変位を x_u とすれば、 x_u は一般に限界変位 x_c よりも小さい。このことは、 x_c に達する以前に実質的な動的終局状態が存在することを意味する。この終局状態をエネルギー的に考察すれば、 x_c に達したときには、運動エネルギーはゼロよりわずかに大きければ動的破壊に至ることになるから、動的終局変位 x_u は動的外力によるエネルギー入力 E_f より履歴減衰エネルギー E_h を差し引いた有効エネルギー入力 E_{ef} が E_{su} よりも大きくなつた状態における変位として求められる。以上の関係を式に表せば次のようになる。

$$E_{su} = E_s + E_{sr} \leq E_s + E_k = E_f - E_h = E_{ef} \quad (8)$$

3. 数値計算

前項に述べたように、ある時刻以降動的外力が作用しない場合においても、変位が発散して崩壊に至る始めの時刻の状態を実質的な動的終局状態として、この時刻の応答量を数値計算によって求める。

共振振動数を持つ正弦波外力を受ける振動系において、正弦波外力の加速度振幅 Z は次式で示される降伏強度係数 γ を用いて表す。

$$\gamma = R_y / (Z \cdot m) \quad (9)$$

図5は、静的荷重が作用しない場合の固有振動数 $n=5\text{Hz}$ 、静的荷重比 $\alpha=0.5$ および $\gamma=50$ の場合の質点の変位応答曲線(C_0)である。任意の時刻以降動的外力が作用しない場合には、変位が発散しているが(C_1)、この時刻の1時間刻みだけ前より動的外力が作用しない場合には、変位は発散していない(C_2)。したがって、この任意の時刻の状態が動的終局状態となる。

図6は、動的終局状態の変位 x_u と降伏強度係数 γ との関係を示したものである。縦軸が変位 x_u を限界変位 x_c で無次元化して表し、横軸が γ である。 \circ 、 \bullet 、 \triangle がそれぞれ静的荷重比 $\alpha=0.25$ 、 0.5 、 0.75 の場合である。一般に、 γ が大きくなるにつれて、 x_u は x_c に近づくが、 x_c よりは小さいことがわかる。

また、図7には、動的終局状態までに動的外力によるエネルギー入力 E_f とこれより履歴減衰エネルギーを差し引いた有効エネルギー入力 E_{ef} の γ との関係を示している。縦軸が E_f/E_{su} によって無次元化されたエネルギー入力であり、横軸は γ である。 α が小さいほどエネルギー入力が履歴減衰エネルギーによって失われる傾向が大きく、この傾向は α が小さいほど顕著である。しかし、 E_{ef} はすべて1.0すなわち E_{su} に等しいかわずかに大きいことがわかる。つまり、有効エネルギー入力 E_{ef} が E_{su} に達したときに動的終局状態に至ることが数値計算によっても確かめられる。

最後に、この研究は科学研究費(奨励研究)の補助を受けたことを付記する。

参考文献 1)倉西・中島: 土木学会論文集、No.341, pp.41-49, 1984, 1

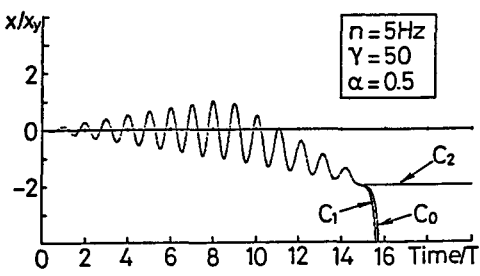


図5 正弦波外力に対する変位応答曲線

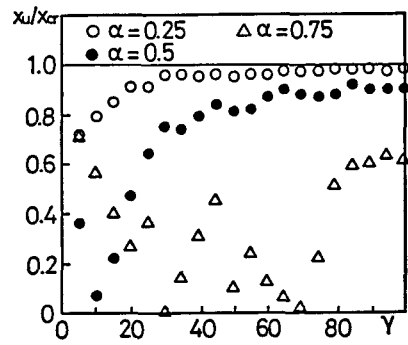


図6 動的終局状態の変位

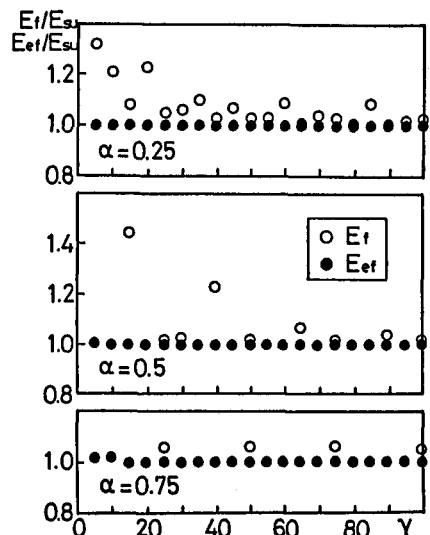


図7 正弦波外力によるエネルギー入力